

光学学报

二值编码相位掩模交替迭代优化的无干涉非相干全息术

潘立辉^{1,2}, 于雪莲^{1,2*}, 程绪坤^{1,2}, 孙彦乾³, 李秀芳³¹哈尔滨理工大学测控技术与通信工程学院黑龙江省量子调控重点实验室, 黑龙江 哈尔滨 150080;²哈尔滨理工大学测控技术与通信工程学院黑龙江省激光光谱技术及应用重点实验室, 黑龙江 哈尔滨 150080;³大恒新纪元科技股份有限公司北京光电技术研究所, 北京 100085

摘要 提出基于交替策略的随机轨迹直接二进制搜索法。数值仿真结果表明,该方法有效抑制了迭代过程中直流偏置的增加并提高迭代速度。实验结果证明,在同样的迭代次数下,该方法显著降低了重建图像的相关重建噪声。该方法推动了无干涉编码孔径相关全息术(I-COACH)系统在可见光范围外成像的应用。

关键词 图像处理; 非相干全息术; 无干涉编码孔径相关全息术; 二值编码相位掩模; 直接二进制搜索法

中图分类号 O438

文献标志码 A

DOI: 10.3788/AOS231940

1 引言

编码孔径相关全息术(COACH)是通过将菲涅耳非相干相关全息术(FINCH)和编码孔径成像(CAI)技术相结合所实现的^[1-2]。FINCH系统利用空间光调制器(SLM)将物光分为两束光波,获取其中一束光的自干涉全息图,采用反向传播进行重建。FINCH通过非相干光进行全息成像,使得传统全息术可以不受相干散斑噪声的影响。目前FINCH成功应用于生物医学成像领域^[3],并实现对动态样品的实时快速成像^[4]。CAI技术通过对物体的编码和解码重建图像,其中编码是通过将系统的点扩展函数(PSF)与物体进行卷积获得二维编码图像,解码则是通过PSF对二维编码图像进行滤波重建。CAI技术广泛应用于X射线成像^[5-6]、压缩感知光谱成像^[7-8]、太赫兹雷达成像^[9]等多个成像领域。基于FINCH和CAI的原理,Vijayakumar等^[2]于2016年提出了COACH系统,在COACH系统中,SLM使用编码相位掩模(CPM)对其一束进行光调制,通过相移获取自干涉全息图。由于物体上每个点源之间都是不相干的,因此COACH系统获得的全息图实际是物体和PSF的卷积,并通过PSF进行滤波重建。散斑场在衍射过程中会不断发生变化,每个平面都是不一样的随机散斑光场,所以COACH系统记录的物体三维信息不仅编码在光场的相位信息中,还编码在光场的振幅信息中,COACH系

统只需要记录不同平面的PSF就能实现三维重建,这使得无干涉COACH(I-COACH)系统可以不通过分波干涉实现非相干三维成像^[10-12],此外I-COACH记录的PSF是正实值函数,需要获取多幅PSF投影到复数域进行重建。最新的无透镜I-COACH(LI-COACH)系统^[13-14]不需要使用透镜,使得非相干全息成像系统的结构更为简单。虽然COACH能实现三维重建,但重建图像却有较大的噪声,该噪声主要是点扩展全息图(PSH)频谱不均匀所导致的重建噪声。在算法方面的降噪主要有相位滤波重建(POF)^[10]、非线性重建(NLR)^[15-17]、LR²A算法^[18-19]、压缩感知^[20]以及深度学习^[21-22]。在这些算法中,通用性好且能有效抑制相关噪声的就是自适应NLR算法,但NLR算法会抑制相关噪声并放大背景噪声,所以直接抑制CPM的重建噪声是十分有必要的。利用不同的CPM记录多个PSF并合成全息图是一种有效降低噪声的方法^[23],对于混沌CPM来说,通过对多幅不相关的PSF进行平均,能有效抑制重建噪声,但使用多幅CPM会降低系统的时间分辨率。为进一步提高COACH系统的重建质量、减少重建所需的CPM,Kumar等^[24]提出通过直接搜索法优化二值CPM(bCPM)的方法,将峰值背景比(PBR)作为间接评价PSH重建效果的指标之一^[23],通过直接二进制搜索法(DBSA)优化PSH的PBR,降低重建噪声。DBSA的原理是按顺序依次改变双幅bCPM每个像素点的相位,并计算变化后bCPMs的

收稿日期: 2023-12-15; 修回日期: 2024-02-05; 录用日期: 2024-02-23; 网络首发日期: 2024-03-13

基金项目: 教育部产学研合作协同育人项目(231104090250214)、黑龙江省博士后出站科研启动金

通信作者: *yuxuelian@hrbust.edu.cn

PSH及其PBR,若PBR增加则保留变化,否则恢复原样,直至收敛或达到阈值,同时将CPM二值化能够有效地拓展I-COACH系统的成像光谱范围。然而,在迭代过程中,DBSA虽能实现重建信噪比的提升,但bCPMs的重建效果与PBR并不是呈线性变化。DBSA作为二值全息图的搜索优化算法,仅需对一幅二值掩模进行优化,而I-COACH系统由于需要双幅CPM抑制PSH直流偏置带来的重建噪声,所以DBSA应用于I-COACH系统时需要双幅bCPM进行迭代。随着DBSA迭代次数的增加,按顺序选择单幅bCPM迭代时,bCPM衍射效率的降低将导致PSH直流偏置的变化,而直流偏置的存在又会严重影响重建图像的质量^[25]。此外,DBSA虽然能简单有效地提高全息图质量,但这种变化却是复杂和缓慢的,如何提高DBSA的迭代速度也是需要考虑的问题。

为解决DBSA的稳定性差和迭代速度慢的问题,本文在对I-COACH系统的双幅bCPM进行二进制搜索时,通过交替迭代的策略来确保PSH的直流偏置恒定。又因随机扫描能显著提高DBSA的迭代速

度^[26-27],本文采用随机轨迹直接二进制搜索法(DBSRT)扫描bCPM的像素。采用该方法使得DBSA的迭代稳定性和迭代速度得到有效提升,实验结果证明,在对bCPMs仅迭代一轮的情况下,该方法优化的bCPMs具有更低的重建噪声,而且采用bCPM能对可见光范围外的电磁波进行调制,使得I-COACH系统在荧光成像、短波红外成像等方面具有广阔的应用前景。

2 基本原理

2.1 LI-COACH系统原理

LI-COACH光学系统如图1所示,物体平面上的任意位置 $\bar{\mathbf{r}}_s=(x_s, y_s)$ 处振幅为 $\sqrt{I_s}$ 的点,在SLM处产生的复振幅为 $\sqrt{I_s} CL(\bar{\mathbf{r}}_s/z_s)Q(1/z_s)\exp[i\phi_k(\bar{\mathbf{r}})]$,其中, C 为复常数, $\phi_k(\bar{\mathbf{r}})$ 为第 k 个CPM的相位, z_s 为物体平面到CPM平面的距离, Q 为二次相位, $Q(a)=\exp[i\pi a\lambda^{-1}(x^2+y^2)]$, λ 为波长, L 为线性相位, $L(\mathbf{r}/z)=\exp[i2\pi(r_x x+r_y y)/(\lambda z)]$ 。

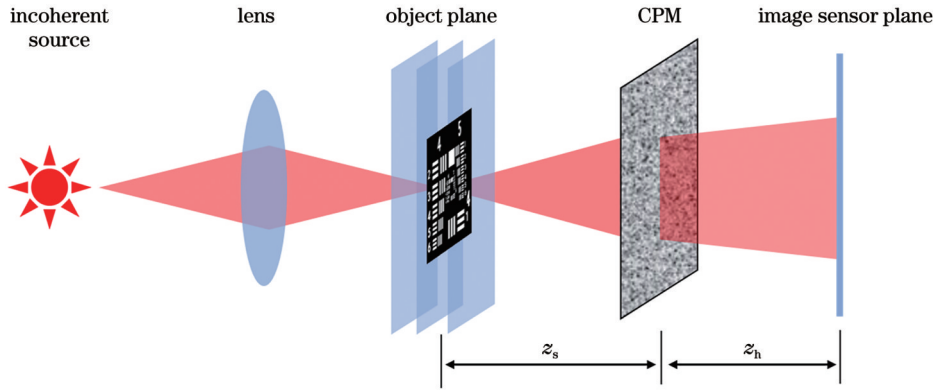


图1 LI-COACH光学结构

Fig. 1 Optical configuration of LI-COACH

最终,在图像传感器平面上的强度分布可以表示为

$$I_k(\bar{\mathbf{r}}_h; \bar{\mathbf{r}}_s, z_s) = \left| \sqrt{I_s} C Q\left(\frac{1}{z_s}\right) L\left(\frac{\bar{\mathbf{r}}_s}{z_s}\right) \exp[i\phi_k(\bar{\mathbf{r}})] * Q\left(\frac{1}{z_h}\right) \right|^2 = I_k\left(\bar{\mathbf{r}}_h - \frac{z_h}{z_s} \bar{\mathbf{r}}_s; 0, z_s\right), \quad (1)$$

式中: z_h 为CPM平面到图像传感器平面的距离; $\bar{\mathbf{r}}_h=(x_h, y_h)$ 为图像传感器平面的坐标;*代表卷积运算符。一个二维物体可视为由 M 个离散点组成,可将物体表示为

$$O(\bar{\mathbf{r}}_s) = \sum_j^M a_j \delta(\bar{\mathbf{r}} - \bar{\mathbf{r}}_{s,j}), \quad (2)$$

式中: $\delta(\bar{\mathbf{r}} - \bar{\mathbf{r}}_{s,j})$ 为二维物体中的第 j 个点源; a_j 为二维物体平面上第 j 个点的振幅。

从二维物体发出的光在经过CPM后到达传感器平面。I-COACH作为线性空不变系统,物体在图像传

感器平面的光场可以视为物面上每个点源响应的平移叠加。式(1)反映了一个点源的强度响应,而物体可以视作点的集合,因为COACH系统采用非相干照明,所以物体的强度分布可以视为PSF强度的叠加。物体的强度响应为

$$I_{\text{Obj}}(\bar{\mathbf{r}}_h; z_s) = \sum_j a_j I_k\left(\bar{\mathbf{r}}_h - \frac{z_h}{z_s} \bar{\mathbf{r}}_{s,j}; 0, z_s\right). \quad (3)$$

由于图像传感器获得的是正实值图像,两个正实值图像之间进行互相关会产生较大的噪声,这会形成一个不尖锐的相关峰。为抑制直流偏置产生的重建噪声,需要将多幅PSF投影到复数域。合成的PSH可表示为

$$H_{\text{PSH}}(\bar{\mathbf{r}}_h; z_s) = \sum_{k=1}^K [I_k(\bar{\mathbf{r}}_h; z_s) \exp(i\theta_k)], \quad (4)$$

式中: K 为CPM的总数; $\theta_k=2\pi(k-1)/K$ 。在I-COACH系统中,单次获得的物体强度响应和PSF均

为正实值随机函数,这使得图像频谱的功率集中在零频信号附近,直流偏置是导致 I-COACH 系统重建光场时产生噪声的因素之一。因此,在式(4)中参数 K 至少应为 2,而更大的 K 值能使其更趋近于 δ 函数。本文

中采用 $K=2$ 的情况,有 $\exp(\theta_k)=-1$ 。仅采用双幅 CPM 的双极 PSH 可表示为

$$H_{\text{PSH}}(\bar{\mathbf{r}}_h; z_s) = I_1(\bar{\mathbf{r}}_h; z_s) - I_2(\bar{\mathbf{r}}_h; z_s)。 \quad (5)$$

在传感器平面的双极物体全息图可表示为

$$H_{\text{OBJ}}(\bar{\mathbf{r}}_h; z_s) = I_{\text{OBJ},1}(\bar{\mathbf{r}}_h; z_s) - I_{\text{OBJ},2}(\bar{\mathbf{r}}_h; z_s) = \sum_j a_j I_{\text{OBJ},1}\left(\bar{\mathbf{r}}_h - \frac{z_h}{z_s} \bar{\mathbf{r}}_{s,j}; 0, z_s\right) - \sum_j a_j I_{\text{OBJ},2}\left(\bar{\mathbf{r}}_h - \frac{z_h}{z_s} \bar{\mathbf{r}}_{s,j}; 0, z_s\right) = \sum_j a_j H_{\text{PSH}}\left(\bar{\mathbf{r}}_h - \frac{z_h}{z_s} \bar{\mathbf{r}}_{s,j}; z_s\right)。 \quad (6)$$

通过 $H_{\text{OBJ}}(\bar{\mathbf{r}}_h; z_s)$ 与 $H_{\text{PSH}}(\bar{\mathbf{r}}_h; z_s)$ 之间的相位滤波进行重建,能进一步去除重建噪声。令 $\tilde{H}_{\text{PSH}}(\bar{\mathbf{r}}_h; z_s) = \mathcal{F}^{-1}\left\{\exp\left\{i \cdot \text{angle}\left\{\mathcal{F}\left[H_{\text{PSH}}(\bar{\mathbf{r}}_0; z_s)\right]\right\}\right\}\right\}$, $\mathcal{F}(\cdot)$ 代表傅里叶变换, $\mathcal{F}^{-1}(\cdot)$ 代表傅里叶逆变换, $\text{angle}(\cdot)$ 代表求相位,物体全息图的 POF 重建结果为

$$R(\bar{\mathbf{r}}_R) = H_{\text{OBJ}}(\bar{\mathbf{r}}_h; z_s) \otimes \tilde{H}_{\text{PSH}}(\bar{\mathbf{r}}_h - \bar{\mathbf{r}}_R; z_s) = \iint \sum_j \left[a_j H_{\text{PSH}}\left(\bar{\mathbf{r}}_h - \frac{z_h}{z_s} \bar{\mathbf{r}}_{s,j}; z_s\right) \tilde{H}_{\text{PSH}}^*(\bar{\mathbf{r}}_h - \bar{\mathbf{r}}_R; z_s) \right] d\bar{\mathbf{r}}_h = \sum_j \left[a_j \iint H_{\text{PSH}}\left(\bar{\mathbf{r}}_h - \frac{z_h}{z_s} \bar{\mathbf{r}}_{s,j}; z_s\right) \tilde{H}_{\text{PSH}}^*(\bar{\mathbf{r}}_h - \bar{\mathbf{r}}_R; z_s) d\bar{\mathbf{r}}_h \right] = \sum_j \left[O\left(\frac{\bar{\mathbf{r}}_s}{M_T}\right) \Lambda\left(\bar{\mathbf{r}}_R - \frac{z_h}{z_s} \bar{\mathbf{r}}_{s,j}\right) \right] \approx O\left(\frac{\bar{\mathbf{r}}_s}{M_T}\right), \quad (7)$$

式中: \otimes 表示互相关运算; $\Lambda(\cdot)$ 为类 δ 函数; $M_T = z_h/z_s$ 为成像系统的横向放大率。采用 POF 对 PSH 进行自相关重建的结果为

$$P(\bar{\mathbf{r}}_R) = H_{\text{PSH}}(\bar{\mathbf{r}}_h; z_s) \otimes \tilde{H}_{\text{PSH}}(\bar{\mathbf{r}}_h - \bar{\mathbf{r}}_R; z_s) = \iint H_{\text{PSH}}(\bar{\mathbf{r}}_h; z_s) \tilde{H}_{\text{PSH}}^*(\bar{\mathbf{r}}_h - \bar{\mathbf{r}}_R; z_s) d\bar{\mathbf{r}}_h = \Lambda(\bar{\mathbf{r}}_R)。 \quad (8)$$

2.2 随机轨迹 DBSA 原理

基于菲涅耳衍射的 Gerchberg-Saxton(G-S)算法生成 bCPM 的流程如图 2 所示,图中 ϕ_{rand} 为纯随机相位, ϕ_k 为第 k 个 CPM 的相位。首先对 G-S 算法生成的双幅 CPM 进行二值化,二值化结果作为 DBSA 选

代的初始 bCPM。将 G-S 算法生成的 CPM 加入二次相位 $Q(-1/z_s)$ 后进行二值化,使 $-\pi \sim 0$ 的相位变为 $-\pi/2$, $0 \sim \pi$ 的相位变为 $\pi/2$,通过 G-S 算法生成两幅独立的 bCPM,将其作为 DBSA 的输入初始值。

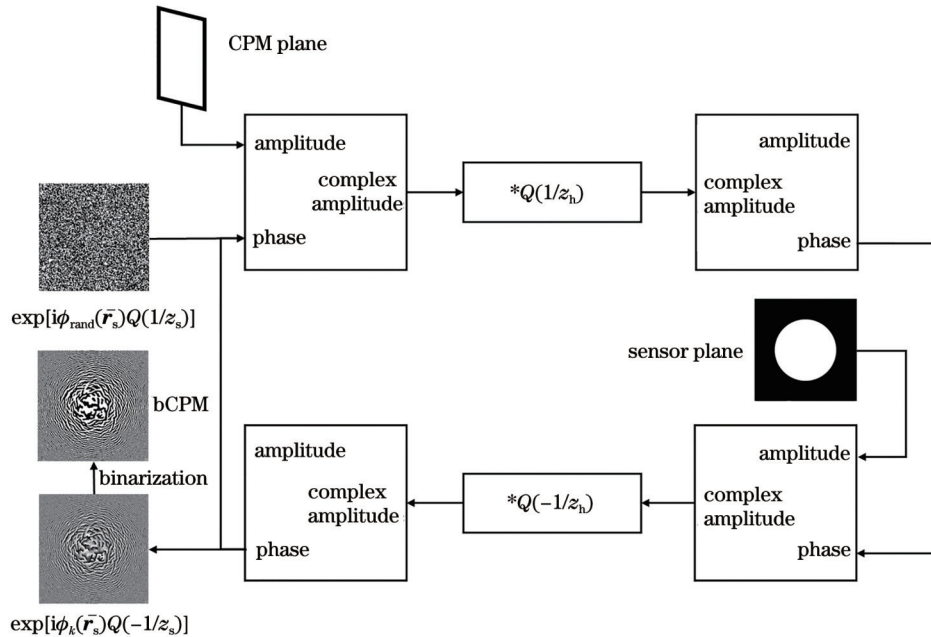


图 2 G-S 算法生成 bCPM

Fig. 2 G-S algorithm generates bCPM

一般来说, DBSA 的评价指标为计算全息图再像的归一化标准差。由于 COACH 系统通过 CPM 进行相关重建,因此描述 CPM 重建质量的一个重要指标

是 PBR^[23], PBR 描述的是 PSH 自相关信号 $P(\bar{\mathbf{r}}_R)$ 的峰值信号与背景信号功率之比,而重建图像为目标物与 $P(\bar{\mathbf{r}}_R)$ 的卷积。PBR 的表达式为

$$R_{PB}(n) = \frac{M^2 \left| P_n[\bar{\mathbf{r}}_R = (0, 0)] \right|}{\sum_{x, y = -M/2}^{M/2} \left| P_n(\bar{\mathbf{r}}_R) \right|}, \quad (9)$$

式中： n 为DBSA的迭代次数。为提高DBSA的迭代速度和迭代稳定性，采用DBSRT对双幅bCPM进行交替迭代，双幅像素为 $M \text{ pixel} \times M \text{ pixel}$ 的bCPM所需迭代次数 $N=2M^2$ 。在第 n 次迭代时，若 n 为奇数则选择bCPM1迭代，若 n 为偶数则选择bCPM2迭代，接着随机选取该bCPM上未被扫描过的像素点，并将该像素点进行翻转，若该像素点的相位为 $\pi/2$ 则翻转为 $-\pi/2$ ，反之 $-\pi/2$ 翻转为 $\pi/2$ ，然后获得bCPM1和bCPM2的PSH，若该像素点翻转后PBR提升，则保留像素翻转后的bCPM，反之则复原，直至对双幅bCPM上的全部像素点扫描完。直接搜索法虽能缓慢提高全息图的PBR，但随着迭代次数的增加，bCPM的衍射效率将产生一定的下降。

为抑制全息图的直流偏置，DBSA至少需要对双幅bCPM进行迭代，而原本的DBSA采用字典顺序进行扫描，且对其中一幅bCPM迭代完后才会对另一幅bCPM进行迭代，这种方法使双幅bCPM的变化并不趋同，从而导致PSH直流偏置发生变化。由于双幅及以上CPM合成的 H_{PSH} 并非全是正实值，因此其自相关函数($H_{PSH} \otimes H_{PSH}$)实际上是存在负值的，若伪随机函数PSH的直流偏置接近于零，此时PSH除自相关峰外的区域平均值也趋近于零。由式(7)和式(8)可知，物体的重建结果等于物体与PSH自重建信号的卷积，而PSH的直流偏置将使得 P_n 背景区噪声信号的平均值并不为零，进而影响系统的重建结果。本文选择 P_n 背景区的直流偏置值来评价PSH的直流偏置，这使得直流偏置对相关重建效果的评价更准确。

I-COACH系统作为一种衍射受限系统，分辨率受到SLM的面积和散射度的影响，而针孔大小也对 $P(\bar{\mathbf{r}}_R)$ 产生影响，所以 $P(\bar{\mathbf{r}}_R)$ 并非严格的 δ 函数，而是

和系统重建效果相关的类 δ 函数，中间的主峰决定了系统的分辨率，除主峰区域外的信号均为背景噪声信号。为表征PSH自相关重建的背景直流偏置，将这个类 δ 函数主峰以外的区域作为背景区域，并除以 R_{PSH} 的峰值信号值，此时背景信号的直流偏置为

$$B(n) = \frac{1}{S_b} \left| \sum_j^{A_b} \frac{P_n(\bar{\mathbf{r}}_{R,j})}{P_n[\bar{\mathbf{r}}_R = (0, 0)]} \right|, \quad (10)$$

式中： S_b 为背景区域面积； A_b 为背景区域； $\bar{\mathbf{r}}_{R,j}$ 为 $\bar{\mathbf{r}}_R$ 坐标平面上第 j 个点的坐标。

3 基于DBSA的迭代优化仿真计算

3.1 初始条件的确定

对LI-COACH系统进行仿真，模拟物面上的点源经过CPM在像面生成的PSF，并计算PBR、直流偏置的变化。波长 $\lambda=532 \text{ nm}$ ，CPM的像素总数为 500×500 ，像素大小为 $6.3 \mu\text{m} \times 6.3 \mu\text{m}$ ，物距为 225 mm ，像距为 180 mm ，以USAF1951分辨率板的4、5、6、7组的元素作为目标物，计算迭代过程中重建图像的PSNR。

3.2 基于DBSA对bCPM的迭代优化

在图2 G-S算法中，在传感器平面约束函数的面积越大则散射度越大，散射度过大会使得PSH的强度较低，从而增加背景噪声，仿真中散斑的约束形状约为直径 2 mm 的圆形。将G-S算法获得双幅不同的bCPM作为初始掩模，利用两种搜索法对bCPM进行迭代优化，迭代过程中重建图像PSNR和背景直流偏置与迭代次数的关系如图3所示。图3(a)为DBSA顺序选择bCPM迭代，明显可见两个变量具有负相关性，而且背景直流偏置的增加使得重建图像PSNR严重降低，特别是在第一幅bCPM优化完成时，即25万次的迭代时的重建效果最差，此时 P_n 的背景直流偏置最大，相反，在背景直流偏置最小的情况下，其重建质量最好。同时可以注意到，在第二幅bCPM优化完成时，

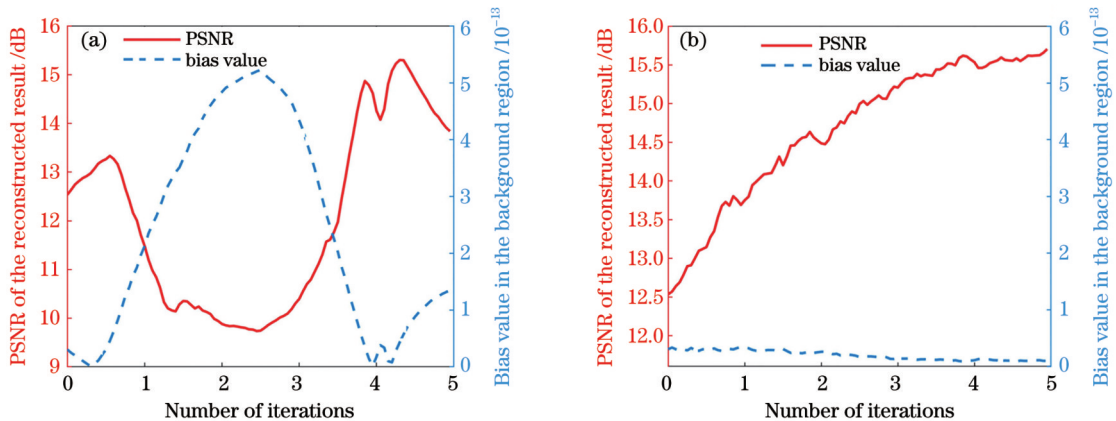


图3 PSNR和直流偏置与迭代次数的关系图。(a) DBSA顺序选择bCPM迭代；(b) DBSRT交替选择bCPM迭代

Fig. 3 Plots of PSNR and the DC bias value versus the number of iterations. (a) DBSA sequentially selects bCPM iterations; (b) DBSRT alternately selects bCPM iterations

背景直流偏置并没有归零。图 3(b)为 DBSRT 采用交替选择 bCPM 迭代的结果,可见采用交替选择 bCPM 的策略能有效抑制背景直流偏置。

3 组 bCPMs 对目标物进行 POF 重建的图像如图 4 所示。其中,图 4(a)为初始 bCPMs 对物体的重建图

像,图 4(b)为经 DBSA 优化的 bCPMs 对物体的重建图像,图 4(c)为 DBSRT 交替策略优化后的 bCPMs 对物体的重建图像。可见,在仅对 bCPMs 的每个像素扫描一次的情况下,DBSA 虽然能改善初始 bCPMs 的重建效果,但效果却不如基于交替策略的 DBSRT。

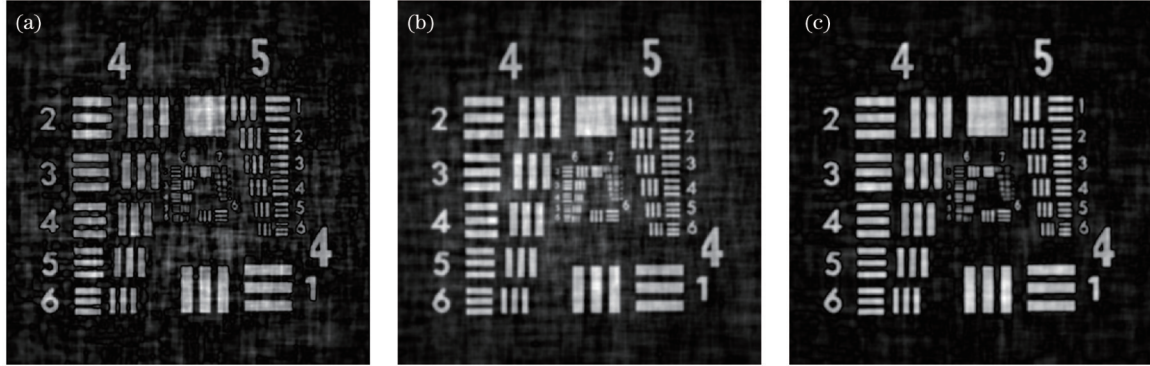


图 4 bCPMs 重建图像。(a)初始 bCPMs 重建图像;(b) DBSA 优化后的重建图像;(c) DBSRT 交替策略优化后的重建图像
Fig. 4 Reconstructed images of bCPMs. (a) Reconstructed image by initial bCPMs; (b) reconstructed image after DBSA; (c) reconstructed image after DBSRT for alternating strategies

若仅对 bCPM1 进行迭代,DBSA 和 DBSRT 在迭代过程中,PBR 的变化与迭代次数的关系如图 5 所示,可见,随机轨迹扫描使得直接搜索法的迭代速度提高

一倍左右。

4 二值 CPM 重建效果的实验验证与评价

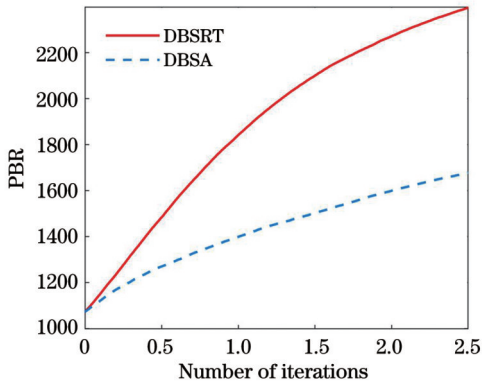


图 5 PBR 与迭代次数的关系图

Fig. 5 PBR varying with the number of iterations

图 6 为 LI-COACH 实验系统,通过在物体平面放置针孔和目标物,分别记录系统的 PSF 和物体的强度响应。记录物体信息的非相干光源为准单色发光二极管(LED)($\lambda=532\text{ nm}$),系统采用临界照明的方式,并利用直径为 $25\text{ }\mu\text{m}$ 的针孔模拟理想点源。物体和针孔发出的光束,经过偏振片后偏振方向与 SLM 的调制方向相同,将 bCPM1 和 bCPM2 依次加载于 SLM(相位调制, 1280×1280 分辨率, $6.3\text{ }\mu\text{m}$ 像素间距)上,并使用 CMOS 图像传感器(上海大恒光学精密机械有限公司,单色, 1280×1024 分辨率, $5.2\text{ }\mu\text{m}$ 像素间距)记录相应的 PSF。实验装置中针孔和物体的平面到 SLM 的距离为 225 mm ,SLM 到 CMOS 的距离为 180 mm 。

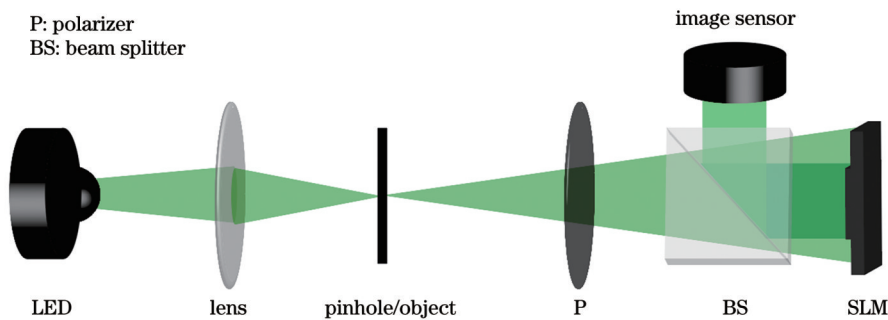


图 6 LI-COACH 实验装置图

Fig. 6 Experimental setup of LI-COACH

选择 USAF1951 分辨率板的 1 组 2 号元素作为目标物,实验结果如图 7 所示。图 7(a1)、(b1)分别

为 G-S 算法生成的初始 bCPM1 和初始 bCPM2,图 7(a2)~(a5)为优化前后 bCPM1 生成的 PSF 和物体

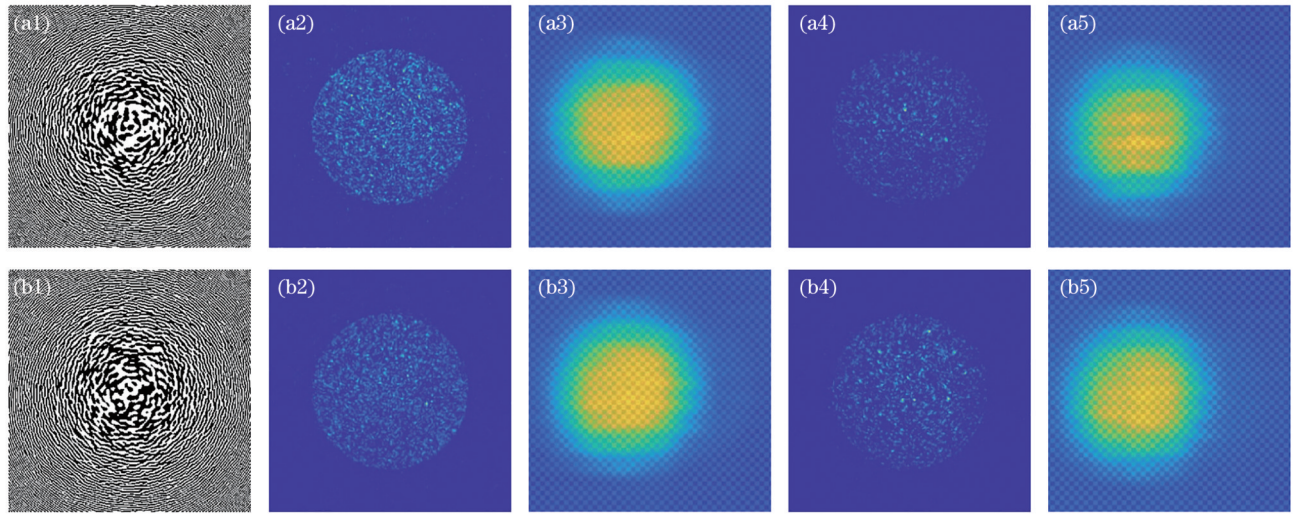


图7 实验数据。(a1)(b1)二值 CPM; bCPM1 和 bCPM2; (a2)(b2)初始 bCPM 的 PSF; (a3)(b3)初始 bCPM 的物体强度响应; (a4)(b4)优化后 bCPM 的 PSF; (a5)(b5)优化后 bCPM 的物体强度响应

Fig. 7 Experimental data. (a1)(b1) Binary CPMs: bCPM1 and bCPM2; (a2)(b2) PSF of initial bCPM; (a3)(b3) object intensity response of initial bCPM; (a4)(b4) PSF of optimized bCPM; (a5)(b5) object intensity response of optimized bCPM

强度响应,图 7(b2)~(b5)为优化前后 bCPM2 生成的 PSF 和物体的强度响应。可见, bCPM 经优化后生成的 PSF 有较大变化。为评价 bCPMs 的 PSF 重建效果,通过分析 PSH 的参数来间接评价其重建效果,其中初始 bCPMs 的 PSH PBR 为 767.0,采用 DBSA 优化的 bCPMs 的 PSH PBR 为 858.5,可见 DBSA 能有效提高 PBR。

将获得的实验数据合成 PSH 和物体全息图,并采用 POF 进行重建,结果如图 8 所示。其中,图 8(a)为双极 PSH,图 8(b)为双极物体全息图,图 8(d)为通过

在 SLM 上加载透镜相位得到的常规成像结果。对不同 bCPMs 的重建图像进行分析,图 8(c)为初始 bCPMs 的重建图像 (PSNR 为 15.6 dB),图 8(e)为 DBSA 按顺序迭代优化的 bCPMs 重建图像 (PSNR 为 17.5 dB),图 8(f)为该方法优化的 bCPMs 重建图像 (PSNR 为 19.5 dB)。可见,该方法具有更好的重建效果。图 8(g)为选择 DBSA 优化的 bCPM1 和未优化的 bCPM2 进行重建的结果,此时重建图像 PSNR 为 9.6 dB,可见 DBSA 按顺序迭代需要完成 bCPM1 和 bCPM2 的迭代后才能有效降低重建噪声。

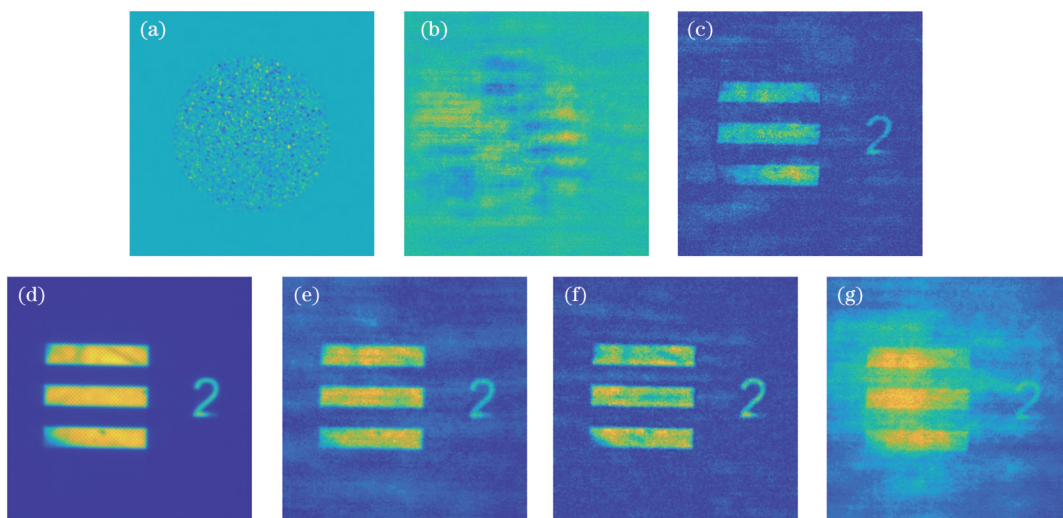


图8 实验重建图像。(a) PSH; (b) 物体全息图; (c) 初始 bCPMs 重建图像; (d) 常规成像; (e) DBSA 优化后的重建图像; (f) DBSRT 交替策略优化后的重建图像; (g) DBSA 优化的 bCPM1 和初始 bCPM2 的重建图像

Fig. 8 Experimental reconstruction images. (a) PSH; (b) hologram of the object; (c) initial bCPMs reconstruction image; (d) regular image; (e) reconstructed image after DBSA optimization; (f) reconstructed image after DBSRT for alternating strategies; (g) reconstruction image of bCPM1 optimized by DBSA and initial bCPM2

5 结 论

本文提出采用交替策略 DBSRT 对 bCPMs 进行迭代优化的方法,该方法具有迭代的稳定性更好以及速度更快的优点。理论分析和数值仿真结果表明,在 DBSA 迭代过程中直流偏置的变化是影响优化效果的重要因素之一,通过交替策略进行迭代能有效约束 PSH 的直流偏置,采用随机轨迹扫描可显著提高 DBSA 的迭代速度。该方法使得 DBSA 的稳定性和速度有了明显提升,在同样的迭代次数下能进一步提高系统的重建效果。采用交替策略 DBSRT 能够有效减少 DBSA 的迭代次数,提高系统的重建质量,为基于 bCPM 的 I-COACH 系统的快速、高质量重建提供了一种简单有效的方法。

参 考 文 献

- [1] Rosen J, Brooker G. Digital spatially incoherent Fresnel holography[J]. *Optics Letters*, 2007, 32(8): 912-914.
- [2] Vijayakumar A, Kashter Y, Kelner R, et al. Coded aperture correlation holography: a new type of incoherent digital holograms[J]. *Optics Express*, 2016, 24(11): 12430-12441.
- [3] 满天龙, 万玉红, 菅孟静, 等. 面向生物样品三维成像的光干涉显微技术研究进展[J]. *中国激光*, 2022, 49(15): 1507202.
Man T L, Wan Y H, Jian M J, et al. Research progress in optical interference microscopy toward three-dimensional imaging of biological samples[J]. *Chinese Journal of Lasers*, 2022, 49(15): 1507202.
- [4] Choi K, Lee J W, Shin J, et al. Real-time noise-free inline self-interference incoherent digital holography with temporal geometric phase multiplexing[J]. *Photonics Research*, 2023, 11(6): 906-916.
- [5] Zhou Y, Pree S, Bellan P M. Imaging suprathreshold X-rays from a laboratory plasma jet using PIN-diode-based and scintillator-based 1D pinhole/coded aperture cameras[J]. *The Review of Scientific Instruments*, 2023, 94(1): 013504.
- [6] Zhang H P, Li K, Wang F X, et al. Megapixel X-ray ghost imaging with a binned detector in the object arm[J]. *Chinese Optics Letters*, 2022, 20(3): 033401.
- [7] Tao C N, Zhu H Z, Ling Q, et al. Hybrid compressive spectral imaging with coded aperture optimization based on coherence minimization[J]. *Optics Communications*, 2023, 546: 129775.
- [8] 魏磊, 杨林, 王晓旭, 等. 基于宽带滤波调制的光谱成像技术实验研究[J]. *光学学报*, 2022, 42(2): 0211001.
Wei L, Yang L, Wang X X, et al. Experimental study of spectral imaging technique based on broadband filtering[J]. *Acta Optica Sinica*, 2022, 42(2): 0211001.
- [9] 邓彬, 陈硕, 罗成高, 等. 太赫兹孔径编码成像研究综述[J]. *红外与毫米波学报*, 2017, 36(3): 302-310.
Deng B, Chen S, Luo C G, et al. Review of terahertz coded-aperture imaging[J]. *Journal of Infrared and Millimeter Waves*, 2017, 36(3): 302-310.
- [10] Vijayakumar A, Rosen J. Interferenceless coded aperture correlation holography: a new technique for recording incoherent digital holograms without two-wave interference[J]. *Optics Express*, 2017, 25(12): 13883-13896.
- [11] Rai M R, Vijayakumar A, Ogura Y, et al. Resolution enhancement in nonlinear interferenceless COACH with point response of subdiffraction limit patterns[J]. *Optics Express*, 2019, 27(2): 391-403.
- [12] 计婷, 张乐, 李伟, 等. 非相干编码孔径相关全息的研究进展[J]. *激光与光电子学进展*, 2019, 56(8): 080005.
Ji T, Zhang L, Li W, et al. Research progress of incoherent coded aperture correlation holography[J]. *Laser & Optoelectronics Progress*, 2019, 56(8): 080005.
- [13] Kumar M, Vijayakumar A, Rosen J. Incoherent digital holograms acquired by interferenceless coded aperture correlation holography system without refractive lenses[J]. *Scientific Reports*, 2017, 7: 11555.
- [14] Yu X L, Wang K W, Xiao J J, et al. Recording point spread functions by wavefront modulation for interferenceless coded aperture correlation holography[J]. *Optics Letters*, 2022, 47(2): 409-412.
- [15] Rai M R, Vijayakumar A, Rosen J. Non-linear adaptive three-dimensional imaging with interferenceless coded aperture correlation holography (I-COACH)[J]. *Optics Express*, 2018, 26(14): 18143-18154.
- [16] Liu C, Man T L, Wan Y H. Optimized reconstruction with noise suppression for interferenceless coded aperture correlation holography[J]. *Applied Optics*, 2020, 59(6): 1769-1774.
- [17] Zhang M H, Wan Y H, Man T L, et al. Non-iterative reconstruction of interferenceless coded aperture correlation holography enabled high quality three-dimensional imaging[J]. *Optics and Lasers in Engineering*, 2024, 173: 107929.
- [18] Anand V, Han M L, Maksimovic J, et al. Single-shot mid-infrared incoherent holography using Lucy-Richardson-Rosen algorithm[J]. *Opto-Electronic Science*, 2022, 1(3): 210006.
- [19] Ignatius Xavier A P, Arockiaraj F G, Gopinath S, et al. Single-shot 3D incoherent imaging using deterministic and random optical fields with Lucy-Richardson-Rosen algorithm[J]. *Photonics*, 2023, 10(9): 987.
- [20] Liu C, Man T L, Wan Y H. Compressive interferenceless coded aperture correlation holography with high imaging quality[J]. *Frontiers in Photonics*, 2022, 3: 846731.
- [21] Zhang M H, Wan Y H, Man T L, et al. Interferenceless coded aperture correlation holography based on deep-learning reconstruction of single-shot object hologram[J]. *Optics & Laser Technology*, 2023, 163: 109349.
- [22] Xiong R, Zhang X C, Ma X Y, et al. Enhancement of imaging quality of interferenceless coded aperture correlation holography based on physics-informed deep learning[J]. *Photonics*, 2022, 9(12): 967.
- [23] Vijayakumar A, Kashter Y, Kelner R, et al. Coded aperture correlation holography system with improved performance[J]. *Applied Optics*, 2017, 56(13): F67-F77.
- [24] Kumar M, Anand V, Rosen J. Interferenceless incoherent digital holography with binary coded apertures optimized using direct binary search[J]. *Optics and Lasers in Engineering*, 2023, 160: 107306.
- [25] 万玉红, 刘超, 满天龙, 等. 非相干相关数字全息术: 原理、发展及应用[J]. *激光与光电子学进展*, 2021, 58(18): 1811004.
Wan Y H, Liu C, Man T L, et al. Incoherent correlation digital holography: principle, development, and applications[J]. *Laser & Optoelectronics Progress*, 2021, 58(18): 1811004.
- [26] Kang J H, Leportier T, Kim M, et al. Non-iterative direct binary search algorithm for fast generation of binary holograms[J]. *Optics and Lasers in Engineering*, 2019, 122: 312-318.
- [27] Cheremkhin P A, Evtikhiev N N, Krasnov V V, et al. Iterative synthesis of binary inline Fresnel holograms for high-quality reconstruction in divergent beams with DMD[J]. *Optics and Lasers in Engineering*, 2022, 150: 106859.

Interferenceless Incoherent Holography Optimized by Alternate Iteration of Binary Coded Phase Mask

Pan Lihui^{1,2}, Yu Xuelian^{1,2*}, Cheng Xukun^{1,2}, Sun Yanqian³, Li Xiufang³

¹Heilongjiang Provincial Key Laboratory of Quantum Control, School of Measurement-Control Technology and Communications Engineering, Harbin University of Science and Technology, Harbin 150080, Heilongjiang, China;

²Heilongjiang Province Key Laboratory of Laser Spectroscopy Technology and Application, School of Measurement-Control Technology and Communications Engineering, Harbin University of Science and Technology, Harbin 150080, Heilongjiang, China;

³Daheng New Epoch Technology, Inc., Beijing 100085, China

Abstract

Objective Interferenceless coded aperture correlation holography (I-COACH) employs incoherent illumination, distinct from other coherent holography techniques. In I-COACH, phase information is redundant, and only the intensity pattern of the three-dimensional observation scene is required to recover object information. Owing to its interference-free nature, it offers the advantages of a simpler optical path and more convenient processing, transmission, and storage of data. This has led to the development of an even more simplified, lensless I-COACH (LI-COACH) system. Utilizing a coded phase mask (CPM), the object intensity is encoded into a specific speckle pattern. The object's speckle hologram and the corresponding point spread hologram (PSH) are used for object reconstruction through cross-correlation, but this reconstruction method is associated with considerable background noise. I-COACH system based on binary coded phase mask significantly reduces reconstruction noise while expanding the imaging spectral range. In this approach, the peak-to-background ratio of the PSH is enhanced using a direct binary search method to reduce the system's reconstruction noise. However, this method increases the bias value of the PSH during the iteration process, leading to unstable iteration effects, and the use of dictionary order scanning results in slower iteration speeds. This paper proposes a direct binary search method based on an alternate strategy with random trajectories. Numerical simulations demonstrate that this method effectively suppresses the increase in the bias value during the iteration process and enhances the iteration speed. Experimental results confirm that, with the same number of iterations, this method significantly reduces the correlation reconstruction noise. This method advances the application of the I-COACH system in imaging beyond the visible light range, offering broad application prospects in fields such as astronomy and the military.

Methods Our design is based on the principle of DBSA and employs a variant known as binary search with random trajectory (DBSRT) to alternately iterate two binary coded phase masks (bCPMs). Initially, two independent CPMs are generated using the Gerchberg-Saxton (G-S) algorithm, which are then binarized to serve as the initial values for the DBSA. The peak-to-background ratio (PBR) is used as an indirect metric to evaluate the reconstruction effect of the PSH, and the DBSRT is utilized to optimize the PBR of the PSH to reduce reconstruction noise. To ensure the bias value is a constant during the iteration process, the improved DBSA selects bCPM1 for iteration when the number of iterations is odd, and bCPM2 when it is even. To further increase the iteration speed, a random unscanned pixel on the bCPM is selected, and its phase is inverted. The PSH and its PBR of the altered bCPMs are calculated in the meantime. If the PBR increases, the change is retained; otherwise, it is reverted to its original state. This process is continued until convergence is reached or a threshold is met. Finally, the iterated bCPMs are used as the random phase masks in the I-COACH system.

Results and Discussions In the experiment, Element 2 of Group 1 from the USAF1951 resolution test chart is chosen as the target. Significant changes are observed in the PSH and object intensity response generated by both the initial bCPMs and those optimized using DBSA (Fig. 8). The experimental data is synthesized into PSH and object holograms, followed by reconstruction using POF. This method demonstrates a substantial improvement in imaging quality compared to the original method (Fig. 8). The images reconstructed from the initial bCPMs and the original DBSA-optimized bCPMs have PSNRs of 15.6 dB and 17.5 dB respectively, while the image from the bCPMs optimized by our method has a PSNR of 19.5 dB, indicating a better reconstruction effect. However, the reconstruction of the target object from bCPMs optimized by DBSA for only bCPM1 yielded a PSNR of 9.6 dB. This shows that sequential iteration by DBSA needs to complete iterations of both bCPM1 and bCPM2 to effectively reduce reconstruction noise. This is attributed to the variation in the bias value of the PSH when only one of the bCPMs is iterated, with the bias value being a contributing factor to noise in the reconstructed light field of the I-COACH system.

Conclusions We propose an alternating strategy for iteratively optimizing bCPMs, which offers improved stability and increased speed in iterations. Through theoretical analysis and numerical simulations, it has been demonstrated that changes in the bias value during DBSA iterations are one of the crucial factors affecting the optimization results. Iterating with an alternating strategy effectively constrains the bias value of the PSH and employing random trajectory scanning significantly enhances the iteration speed of DBSA. This method has notably improved the stability and speed of DBSA. Experimental results show that this approach further enhances the system's reconstruction performance with the same number of iterations. The alternating strategy in DBSRT effectively reduces the number of iterations required by DBSA, thereby improving the reconstruction quality of the system. This provides a straightforward and effective method for fast, high-quality reconstruction in I-COACH systems based on bCPM.

Key words image processing; incoherent holography; interferenceless coded aperture correlation holography; binary coded phase masks; direct binary search algorithm